



## MICRO/NANO USINAGE ET STRUCTURATION DE SURFACE PAR LASER FEMTOSECONDE



**Laboratoire Lasers Plasmas et Procédés Photoniques**

web site : <http://www.lp3.univ-mrs.fr>

Luminy, Marseille, France

Sentis@LP3.univ-mrs.fr



# Mécanismes d'ablation laser

## ☞ laser

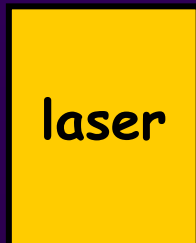
\*\*\* longueur d'onde  $\lambda_{las}$

\*\*\* fluence  $F_{las}$

\*\*\* durée d'impulsion  $\tau_{las}$

\*\* qualité de faisceau

\* fluctuations spatio-temporelles



longueur de pénétration optique

$$\delta_{opt} = \alpha^l$$

## ☞ matériau

réflectivité  $R$

coefficient d'absorption,  $\alpha$

conductivité thermique,  $K_{th}$

capacité calorifique,  $C_p$

températures  $T_{fus}, T_{vap}$

chaleurs latentes  $H_{fus}, H_{vap}$

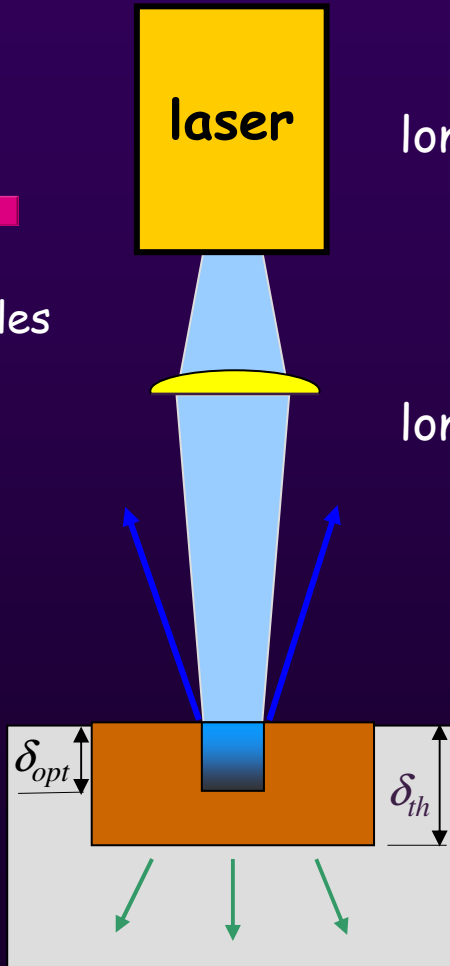
longueur de diffusion thermique

$$\delta_{th} = 2\sqrt{\chi \tau_{las}}$$

$$\chi = \frac{k_{th}}{\rho C_p}$$

## ☞ environnement

air, gaz inerte, vide, liquide



# Quelques grandeurs caractéristiques



$10^{-14}$

$10^{-13}$

$10^{-12}$

$10^{-11}$

$10^{-10}$

tem

Laboratoire  
Photonique  
3

Thermalisation électronique

Relaxation électron - phonon

Plasma d'ablation :

$T_{\text{initiale}}$  : 2000 à 10000 °K

Vitesse des particules :  $\sim 10^5 \text{ cm/s}$

non thermique

thermique

ux

polymères

$\delta_{\text{ther}}$

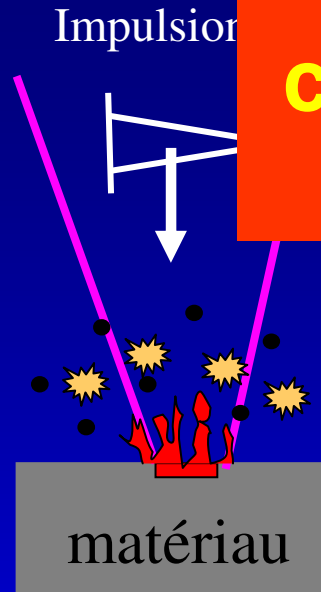
$\delta_{\text{opt}} \sim \delta_{\text{ther}}$

$\delta_{\text{ther}}$

$\delta_{\text{opt}} \gg \delta_{\text{ther}}$

# Avantages d'une bonne connaissance de l'interaction laser-matériaux

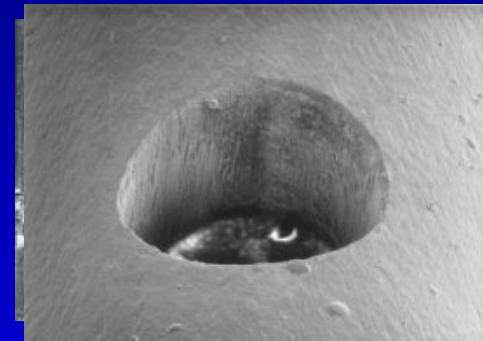
(Nd:YAG, excimeres, 10 - 1000 W)



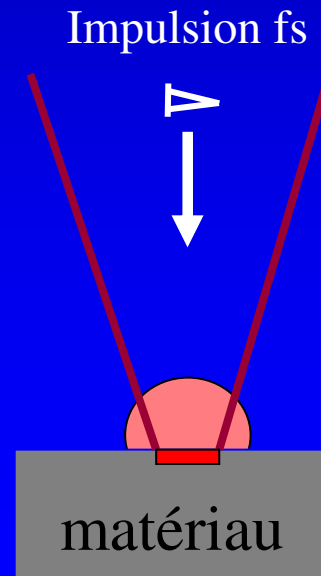
Faible efficacité



Faible qualité

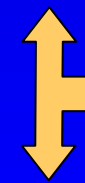


Faible précision



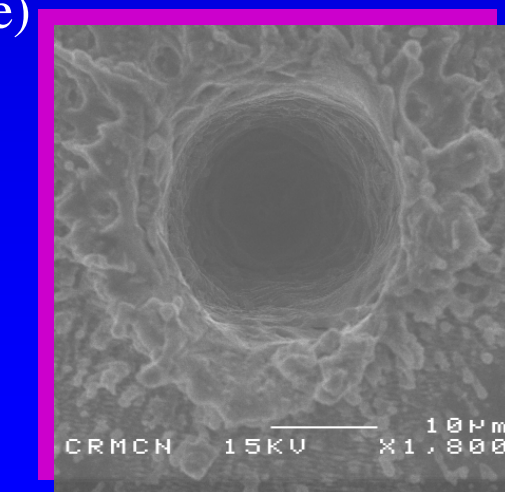
→ Ablation femtoseconde ( $t_{pulse} < t_{diffusion chaleur}$ , absorption non-linéaire)

Efficacité, polyvalence

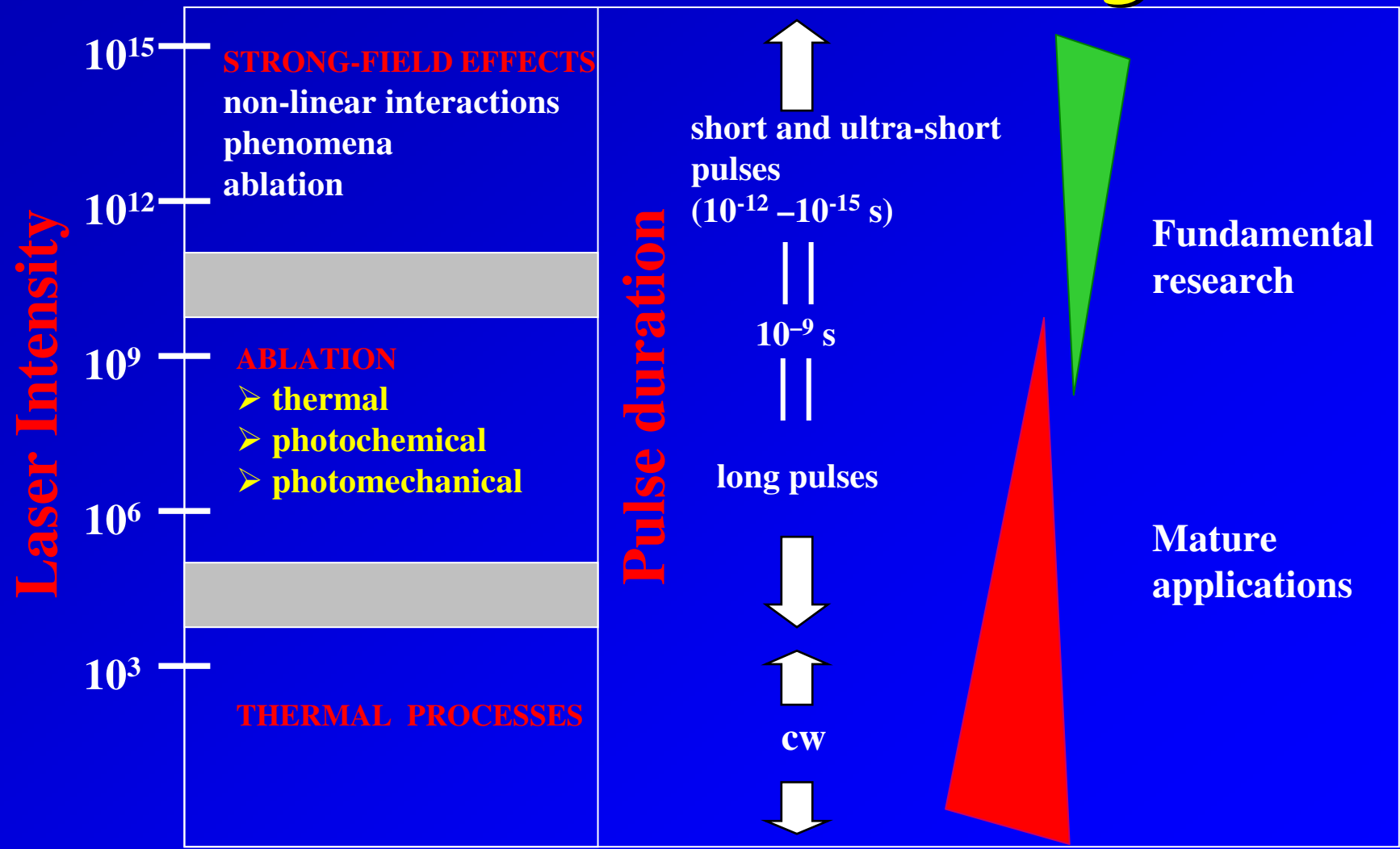


Qualité

Précision, contrôle

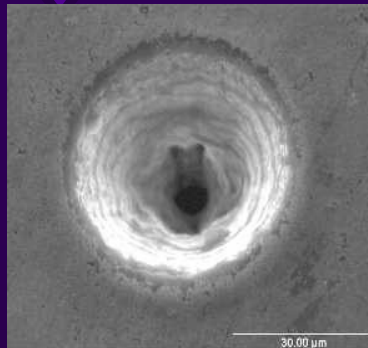


# *High-Power Laser Applications W/cm<sup>2</sup> in Material Processing*

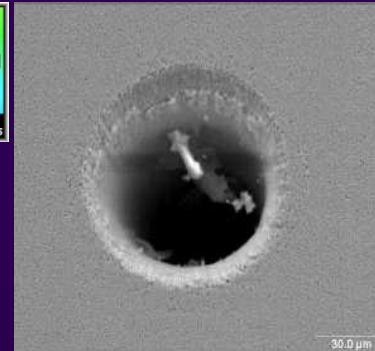


(source : C. Fotakis)

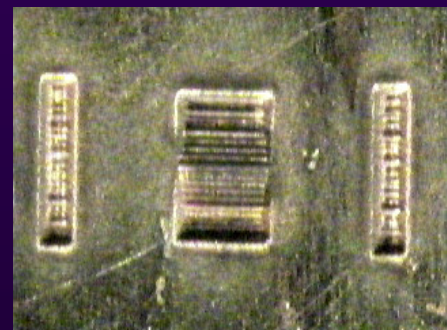
# fs Micromachining



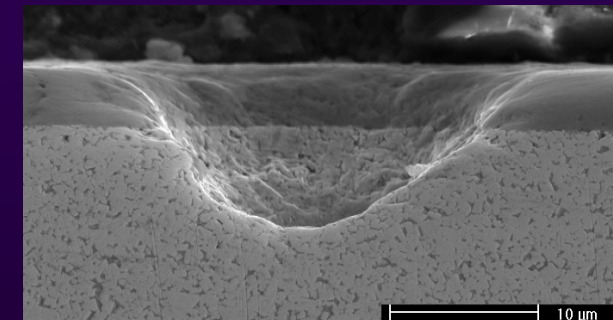
diamond  
 $10^3$  shots,  
50  $\mu\text{J}$ , 100 fs



WC / Co  
 $10^4$  shots,  
50  $\mu\text{J}$ , 100 fs



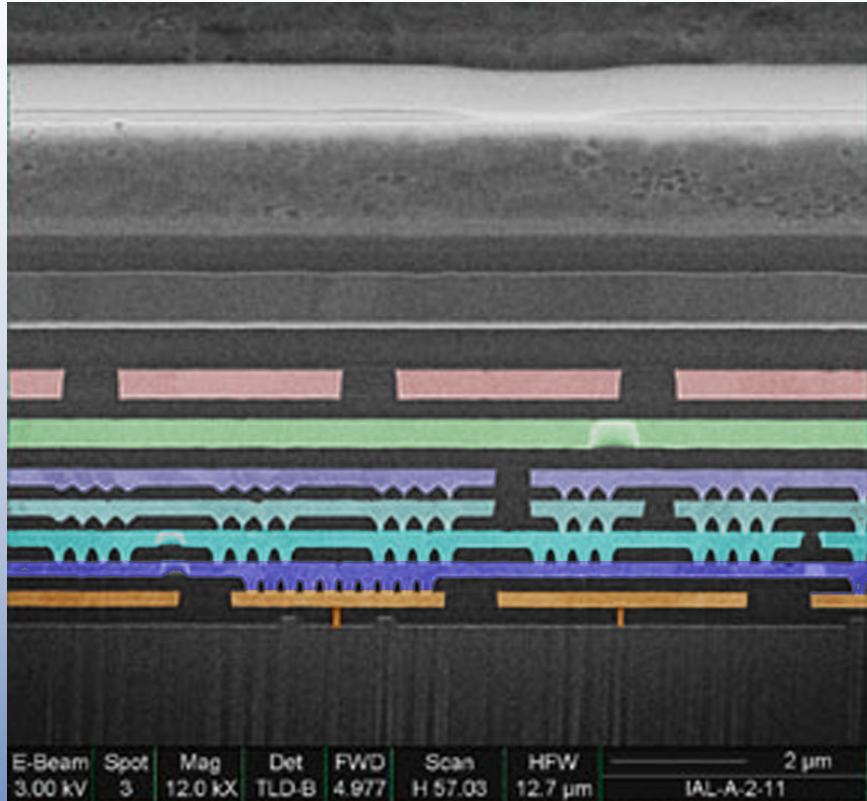
Micro-bridge  
in  $\text{Bi}_2\text{Sr}_2\text{Ca}\text{Cu}_2\text{O}_8$



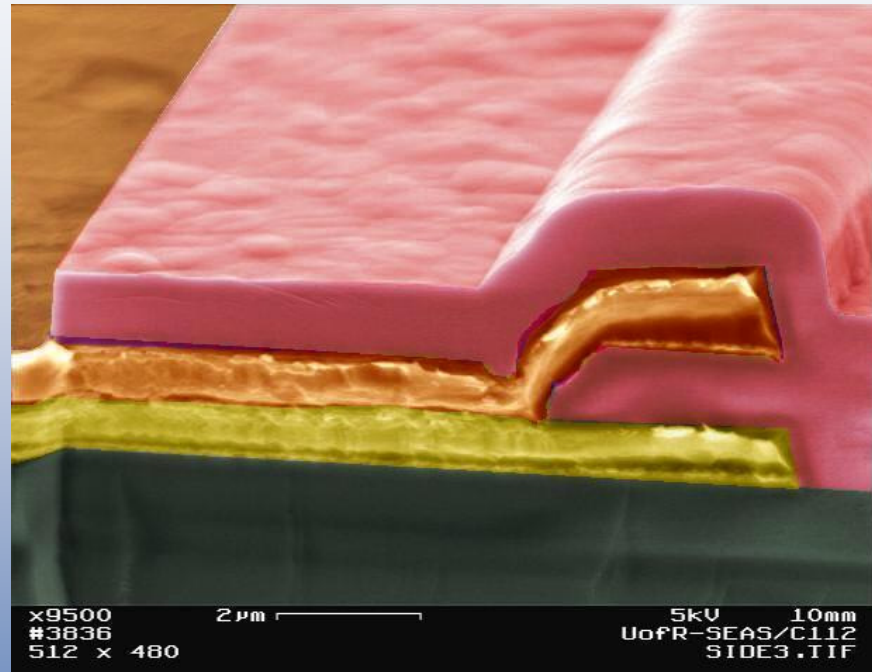
Si wafer cutting



# Application pour la microélectronique



Analyse de défauts

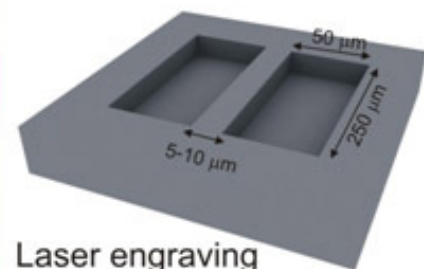


Reverse engineering  
(source : optics rochester)

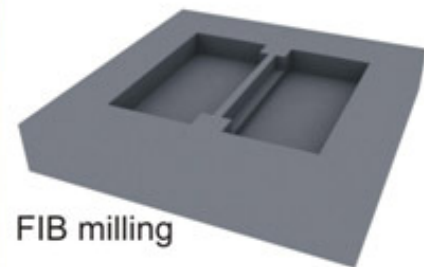
Objectifs : micro-usinage rapide avec effets thermiques très réduits



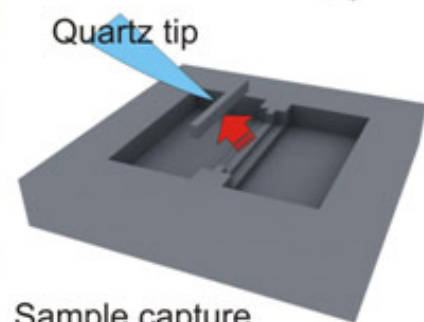
## Steps:



Laser engraving



FIB milling



Quartz tip

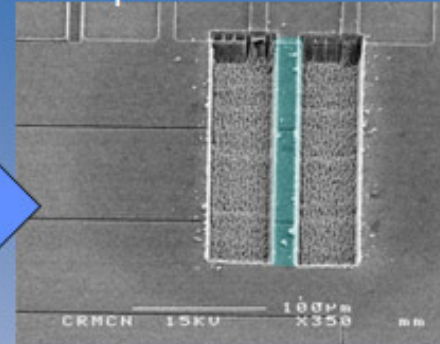


Sample capture

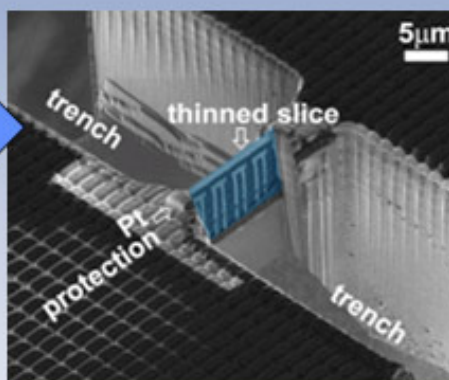


TEM preparation

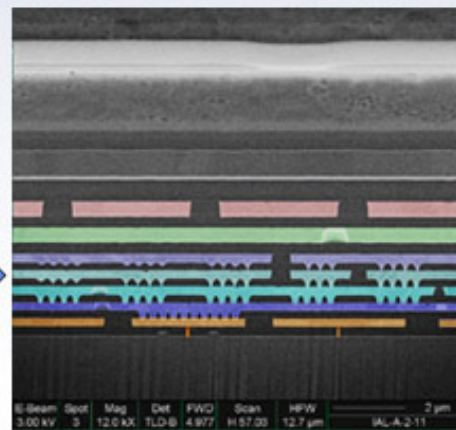
## Examples:



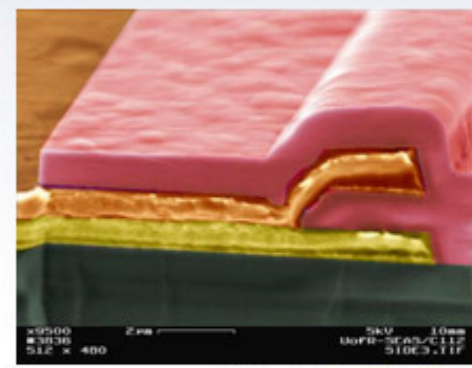
laser engraved cavities



FIB milling / thinning



Defect analysis



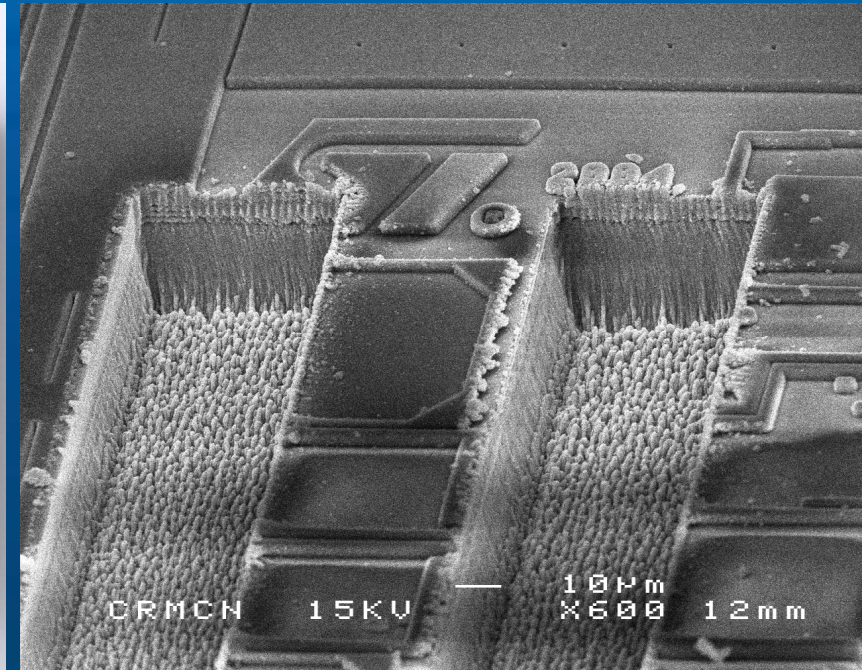
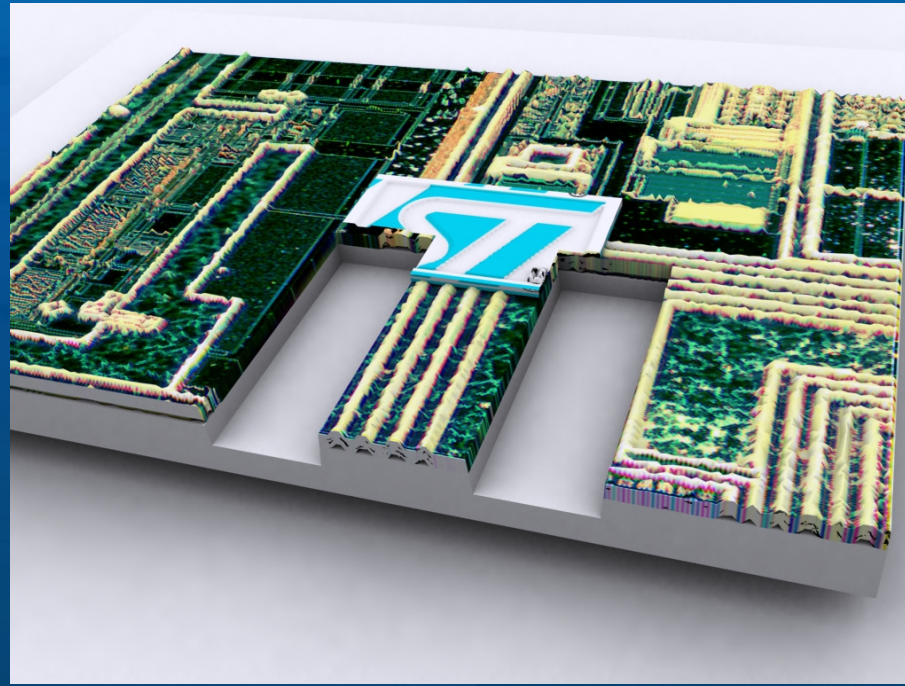
Reverse engineering

## Why using a fs laser ?

- ✓ fast process
- ✓ maskless, no lithography
- ✓ damage limited
- ✓ accurate
- ✓ works with all materials

# Gravure laser fs pour la réalisation de lames minces

microcavités de  $50 \times 250 \mu\text{m}$   
 $F \sim 6,5 \text{ J/cm}^2$  ( $E = 492 \text{ nJ}$ )

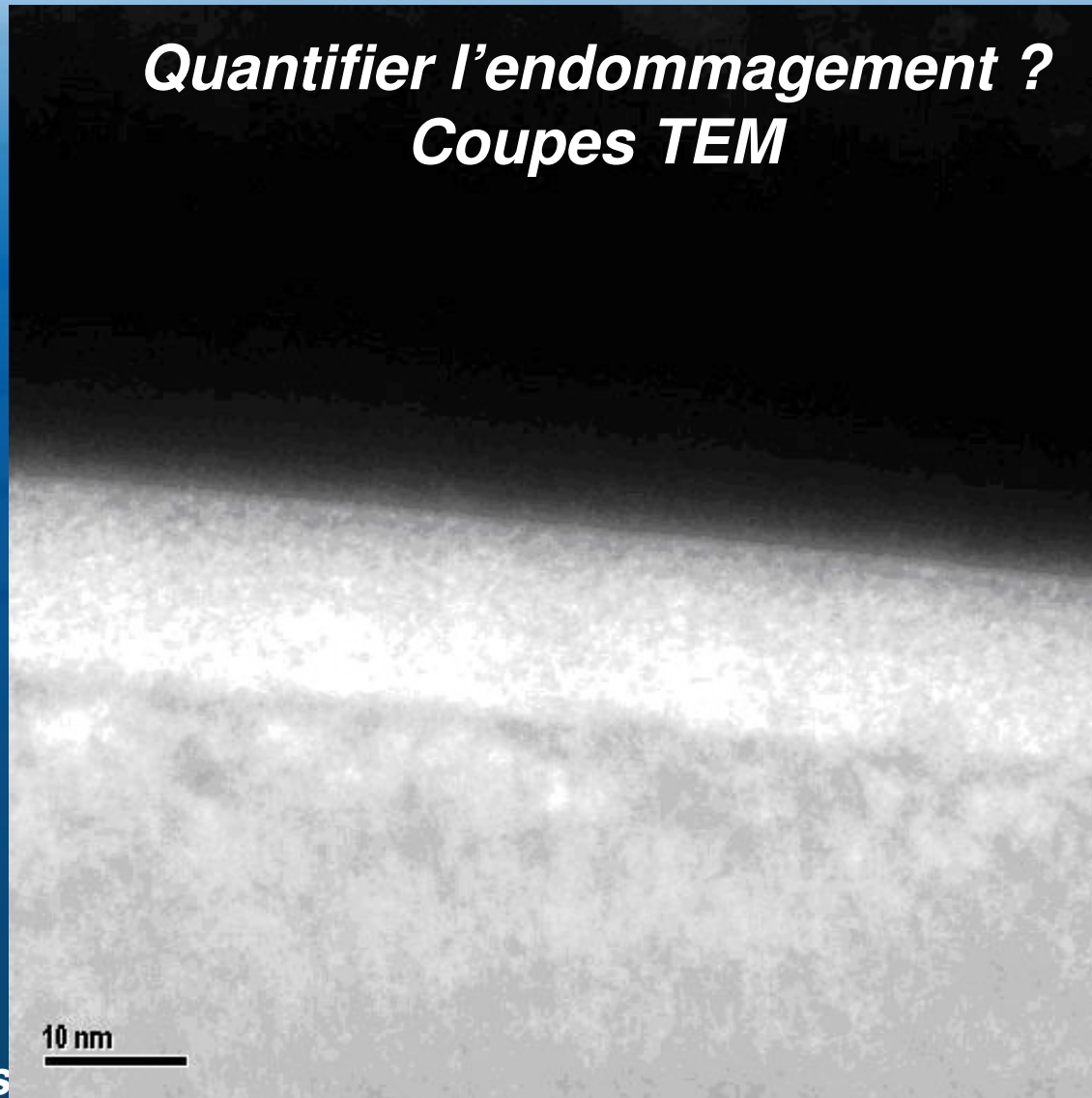


***Micromachining of semiconductor by femtosecond laser for integrated circuit defect analysis***

M. Halbwax, T. Sarnet, J. Hermann, Ph. Delaporte, M. Sentis, L. Fares, G. Haller

*Appl. Surf. Sci.*, Vol 254/4, 2007, pp 911-915

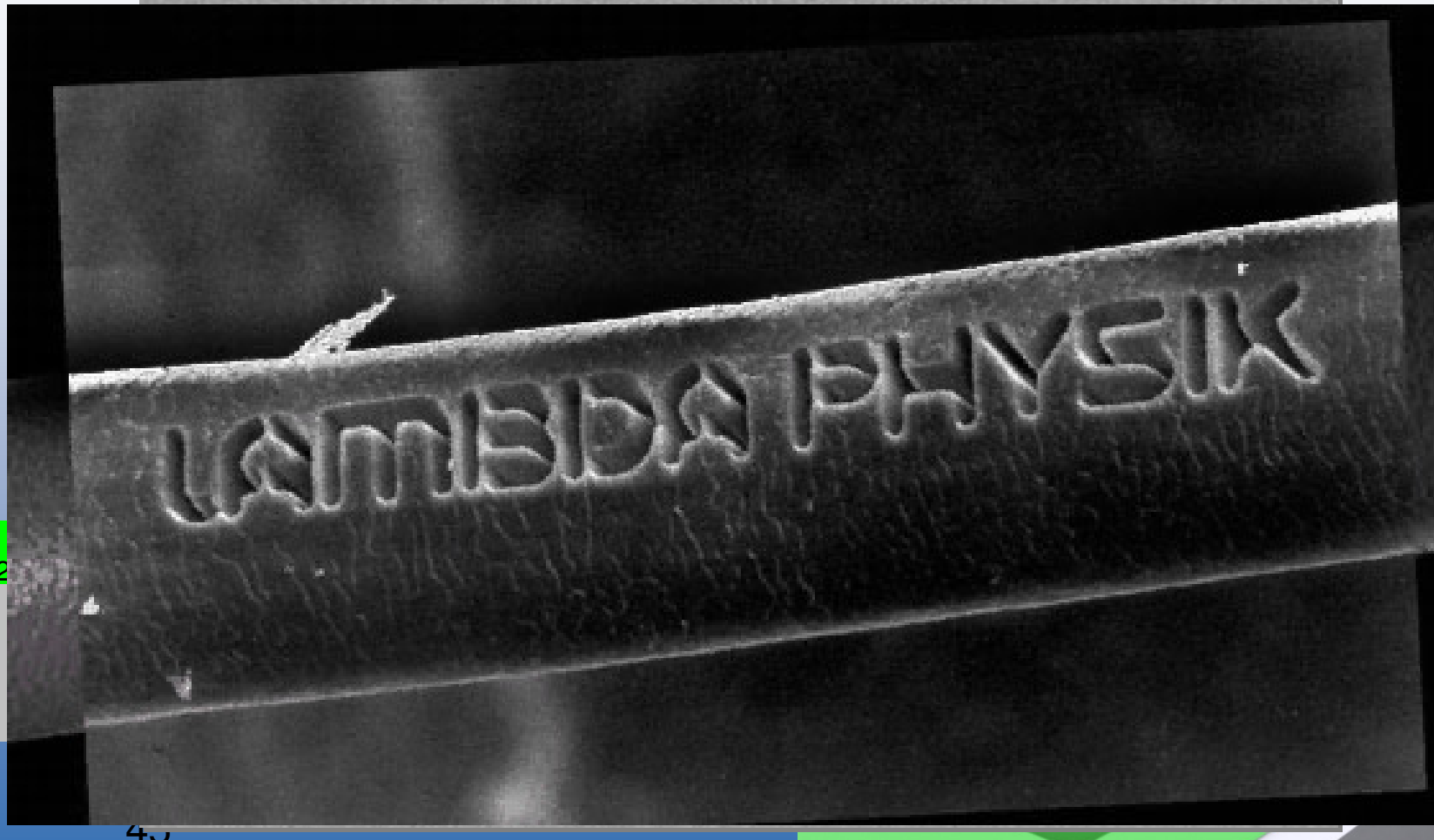
## *Quantifier l'endommagement ? Coupes TEM*



*Epaisseur en fonction de la fluence,  
d'après coupes TEM*

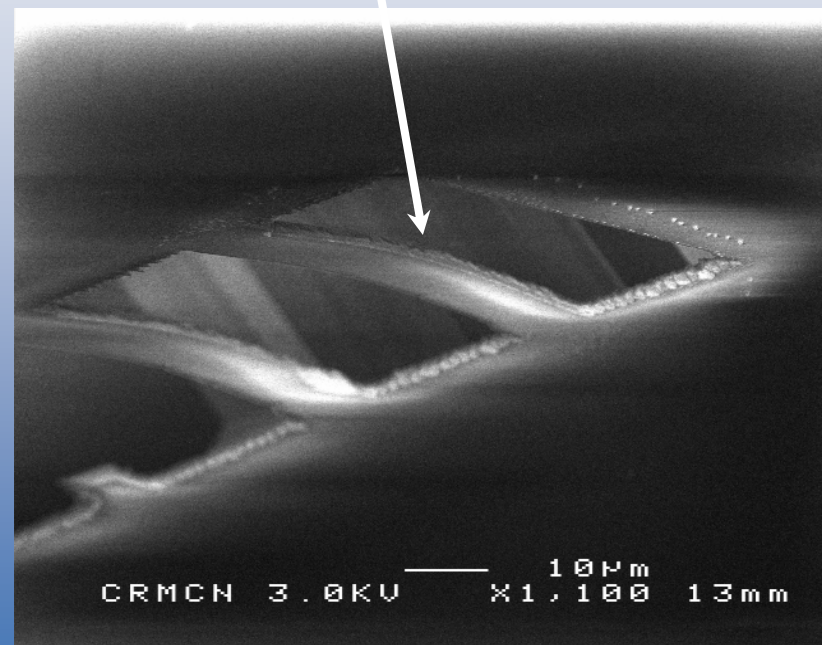
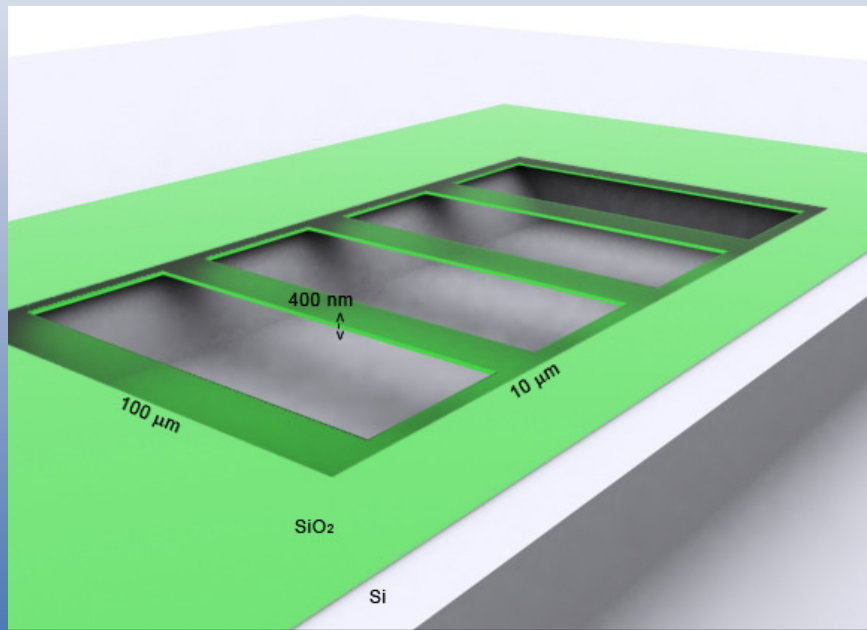
# MEMs Applications

## Micro cavities – Nano bridges



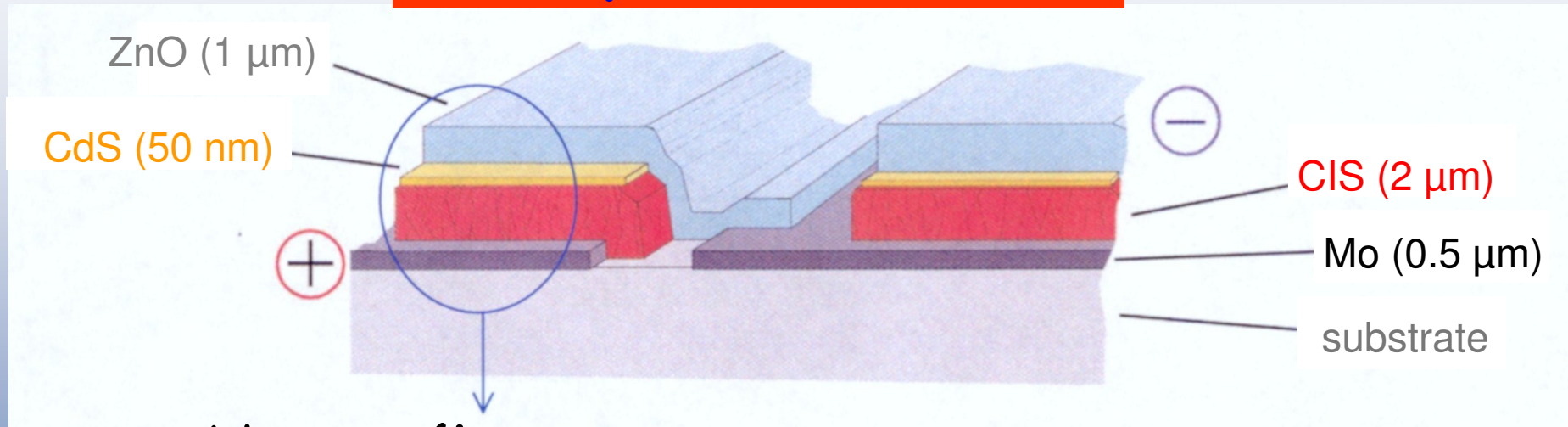
# Silicon nano bridges

- 400 nm thickness
- no mask use



# Micro-usinage de cellule solaire à base de CuInSe<sub>2</sub> (CIS)

## Comparaison ns/fs



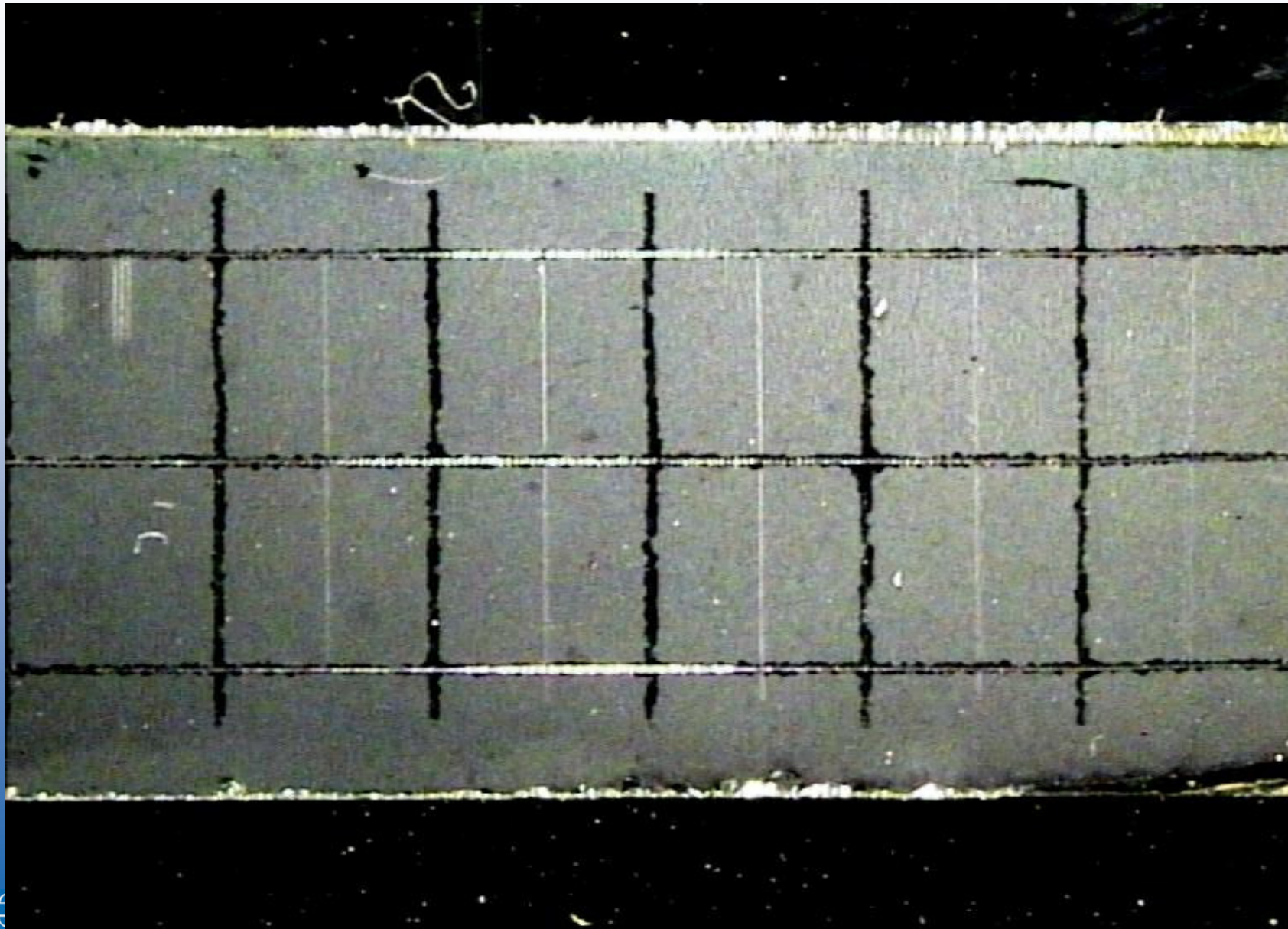
- ablation **sélective** de films minces

- ablation **complète** de tous les films

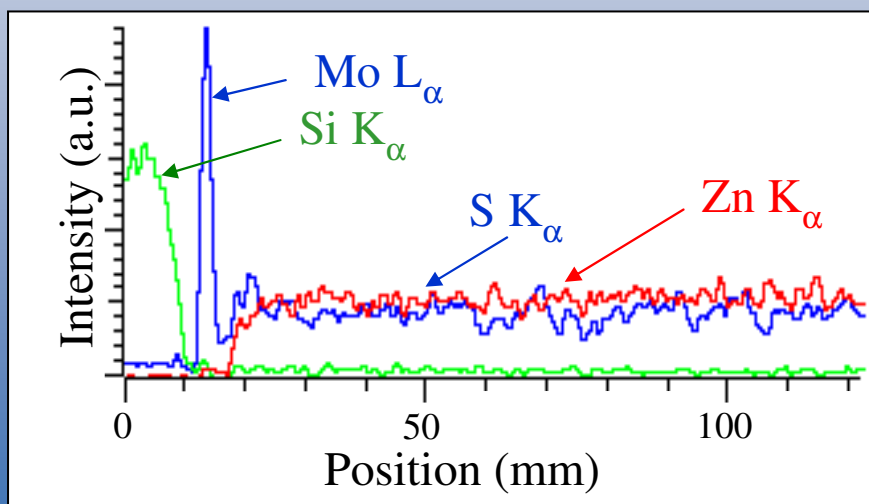
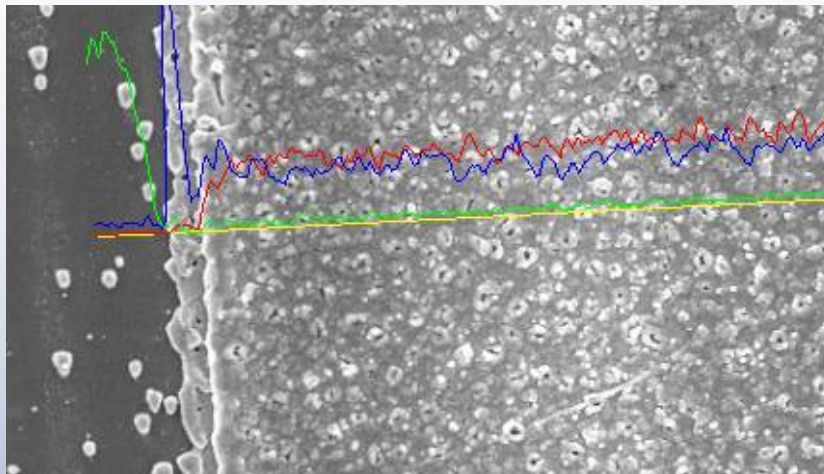
☞ endommagement minimum du matériau non ablatée

☞ largeur de piste réduite

# Caractérisation photoélectrique



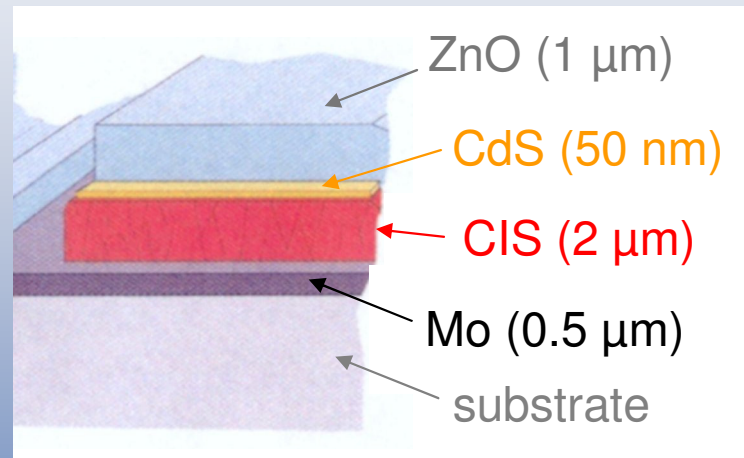
# Analyses SEM et EDX



Nd:YAG laser, 532 nm

$F_{las} = 2 \text{ Jcm}^{-2}$

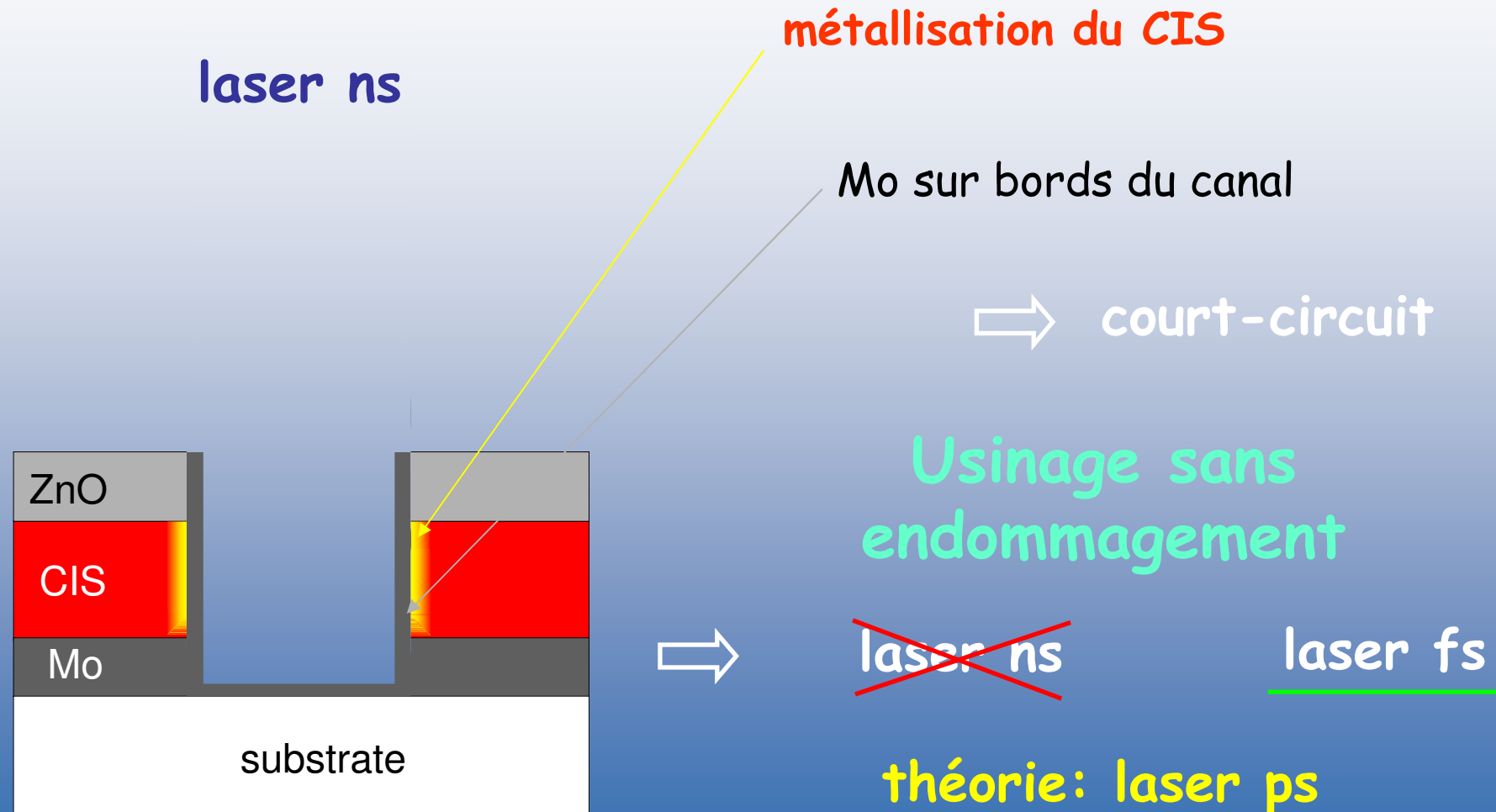
$n_{las} = 40$



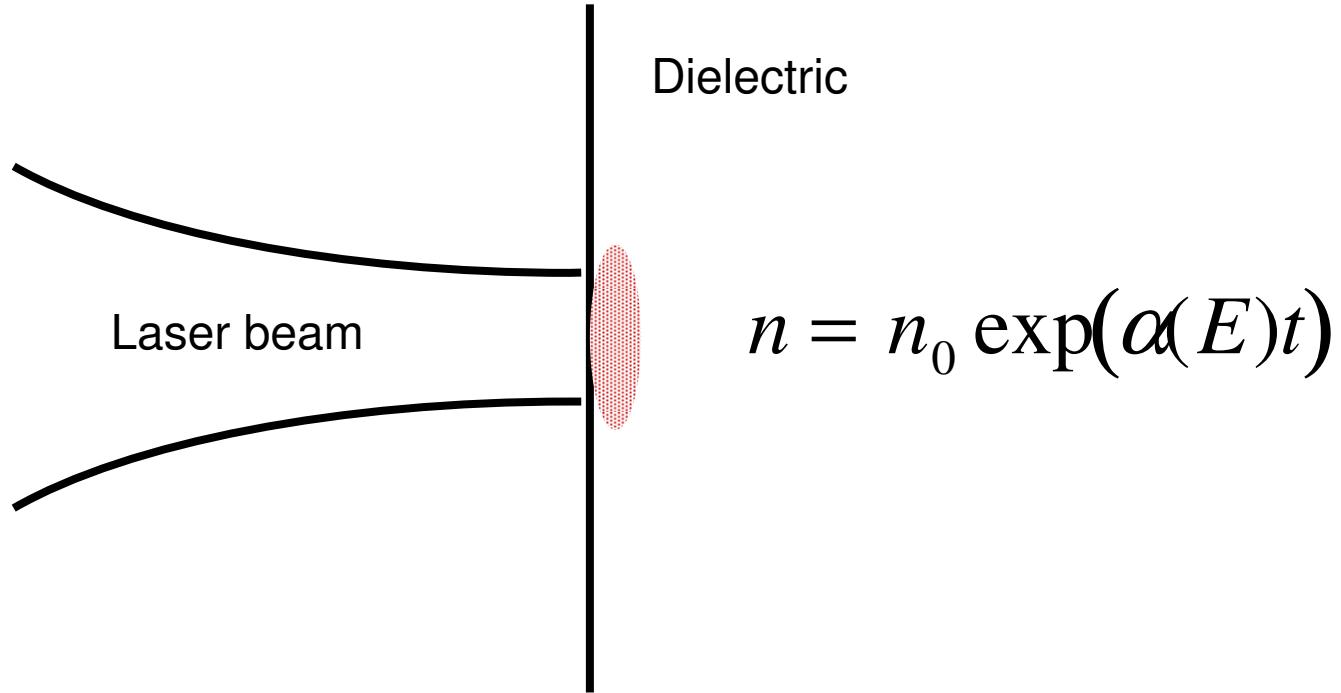
Mo sur bords du canal

⇨ court-circuit

# Usinage laser de cellules solaires (CIS)



# Claquage dans les diélectriques



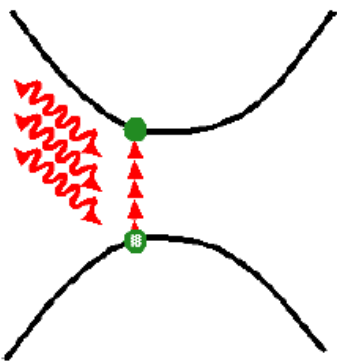
$$n = n_0 \exp(\alpha(E)t)$$

Pour atteindre un claquage il faut  
que la densité électronique  
augmente de  $10^8$  to  $10^{21}$  e/cm<sup>-3</sup>.

# Génération d'électrons libres dans la bande de conduction

## Responsible processes

CB

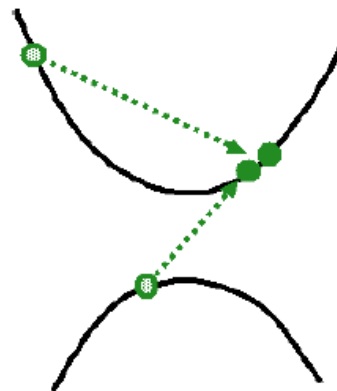


VB

multiphoton-ionization



intrabandabsorption  
by free electrons



electron-electron  
impact ionization

standard rate equation:

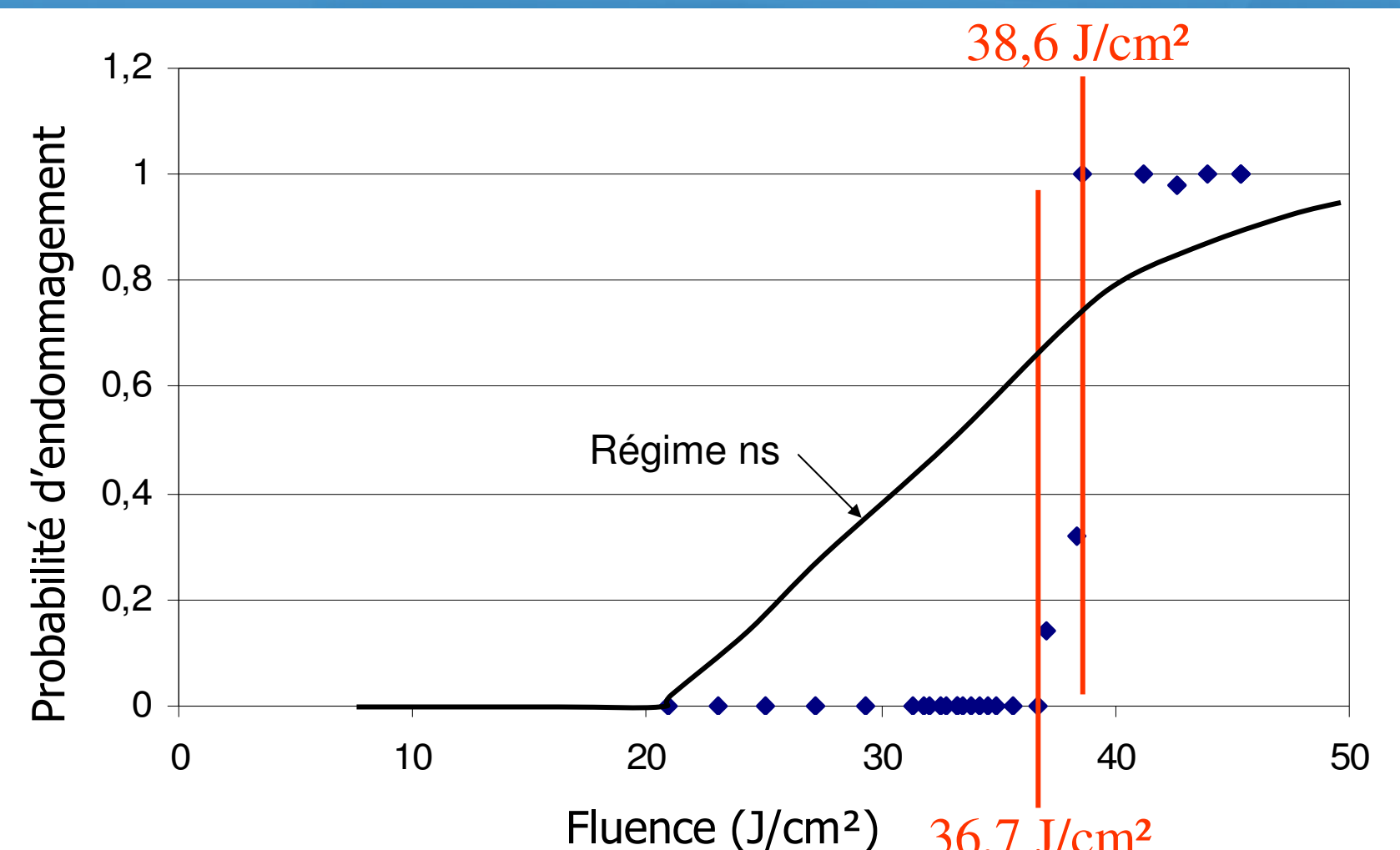
$$\frac{dn_{\text{total}}}{dt} = \sigma_i E_L^2 + \alpha (E_L) n_{\text{total}}$$

multiphoton-ionization  
provides "seed electrons"

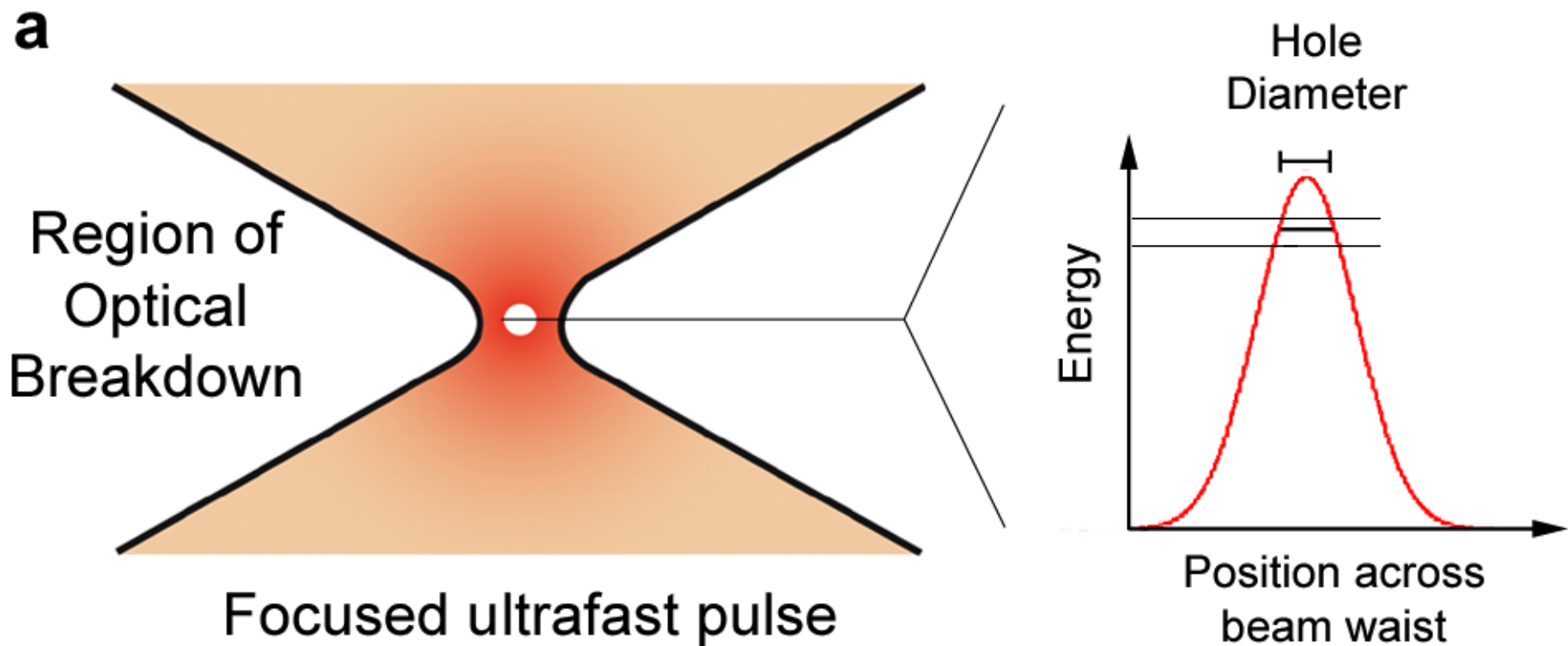
impact ionization  
leads to avalanche

# Seuil d'endommagement déterministe de la silice

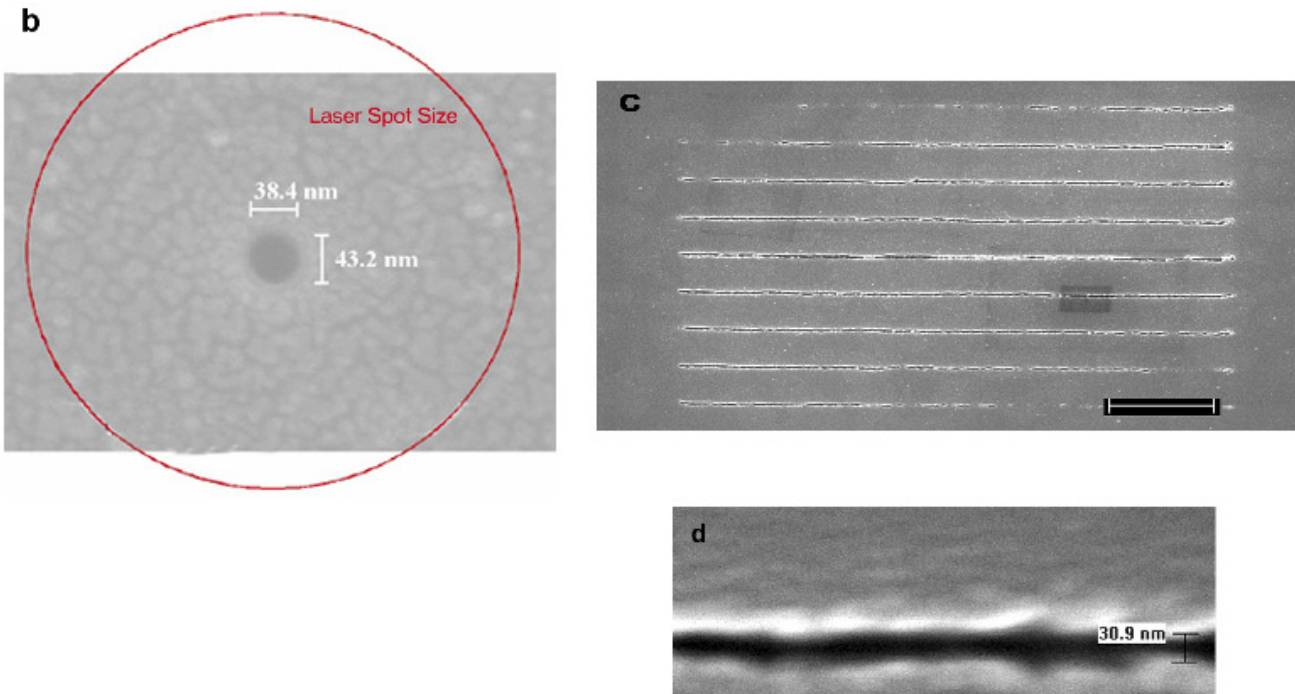
Durée : 450 fs



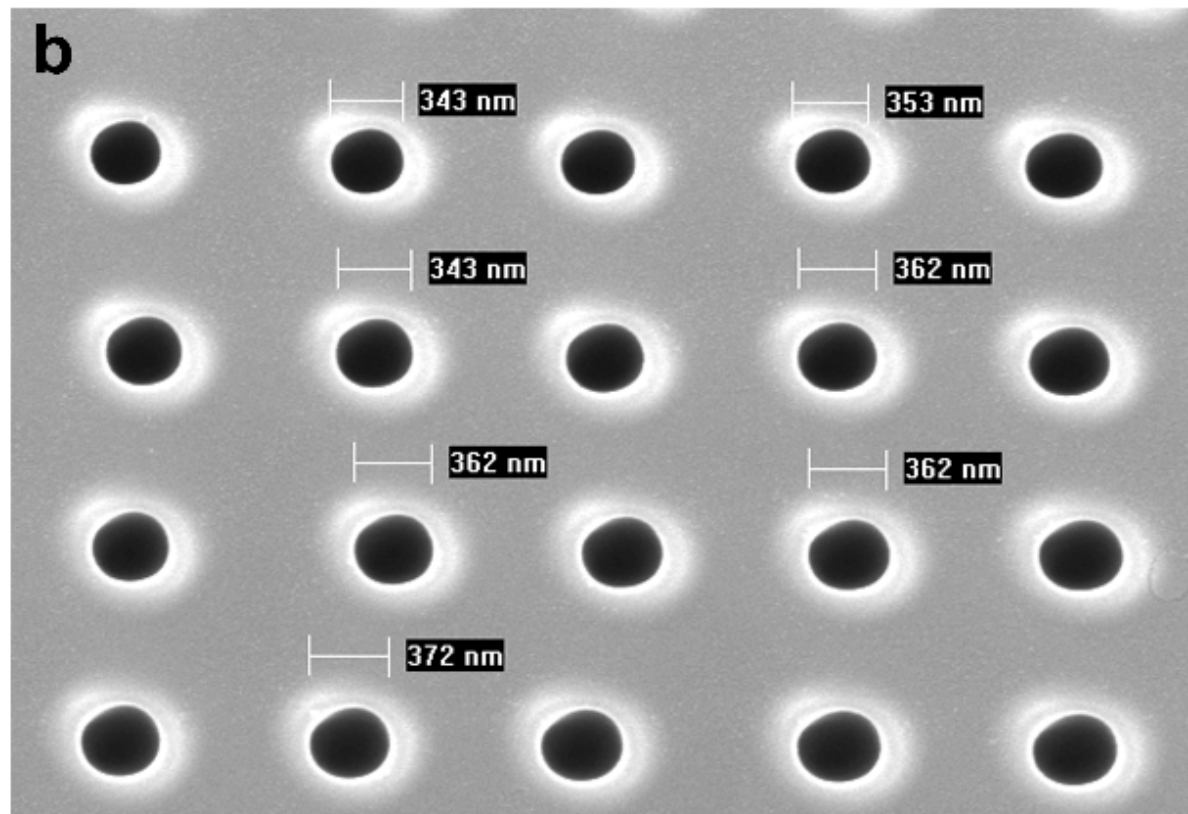
# *Application du seuil déterministe au nano-usinage*



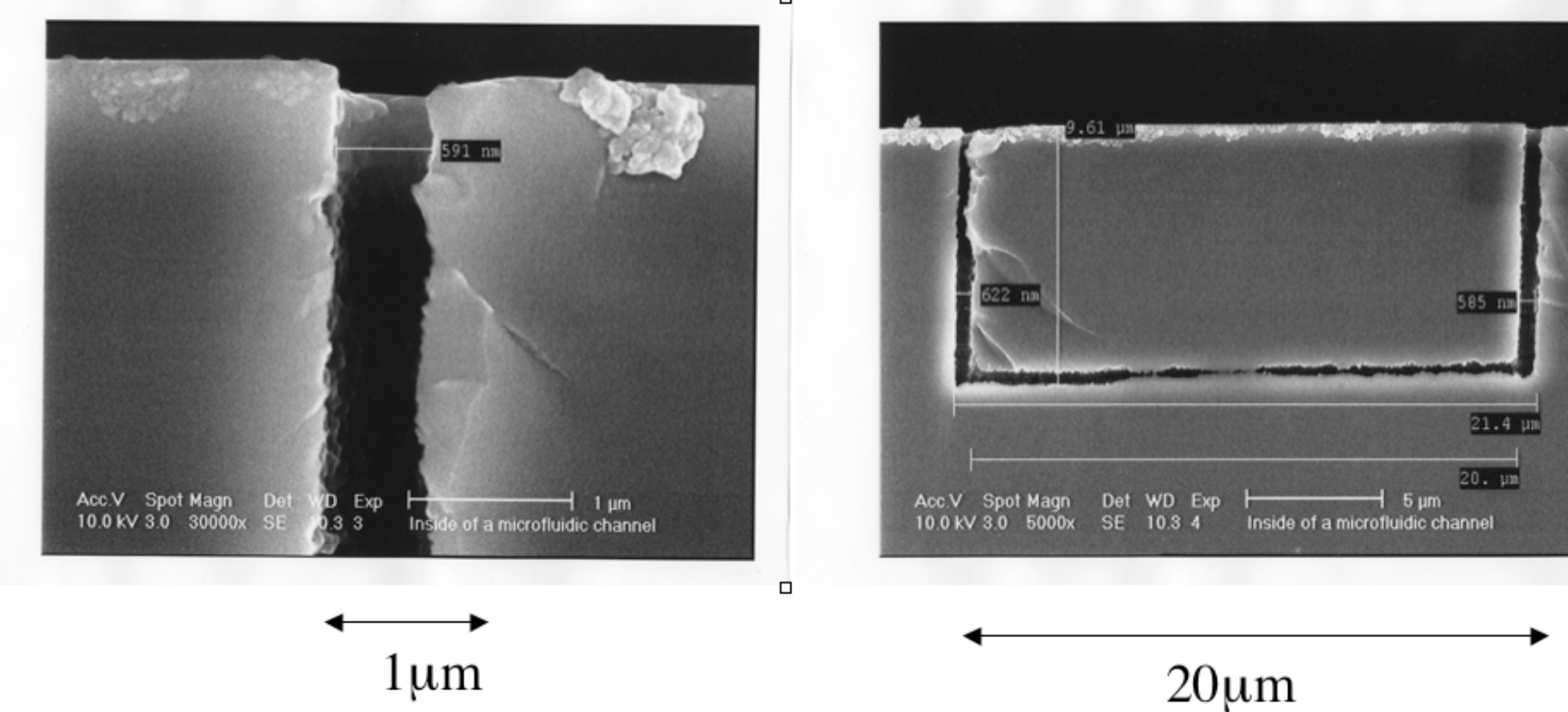
# Nano-usinage par laser femtoseconde de verre



# Nano-machining



# Micro-nano Fluidics

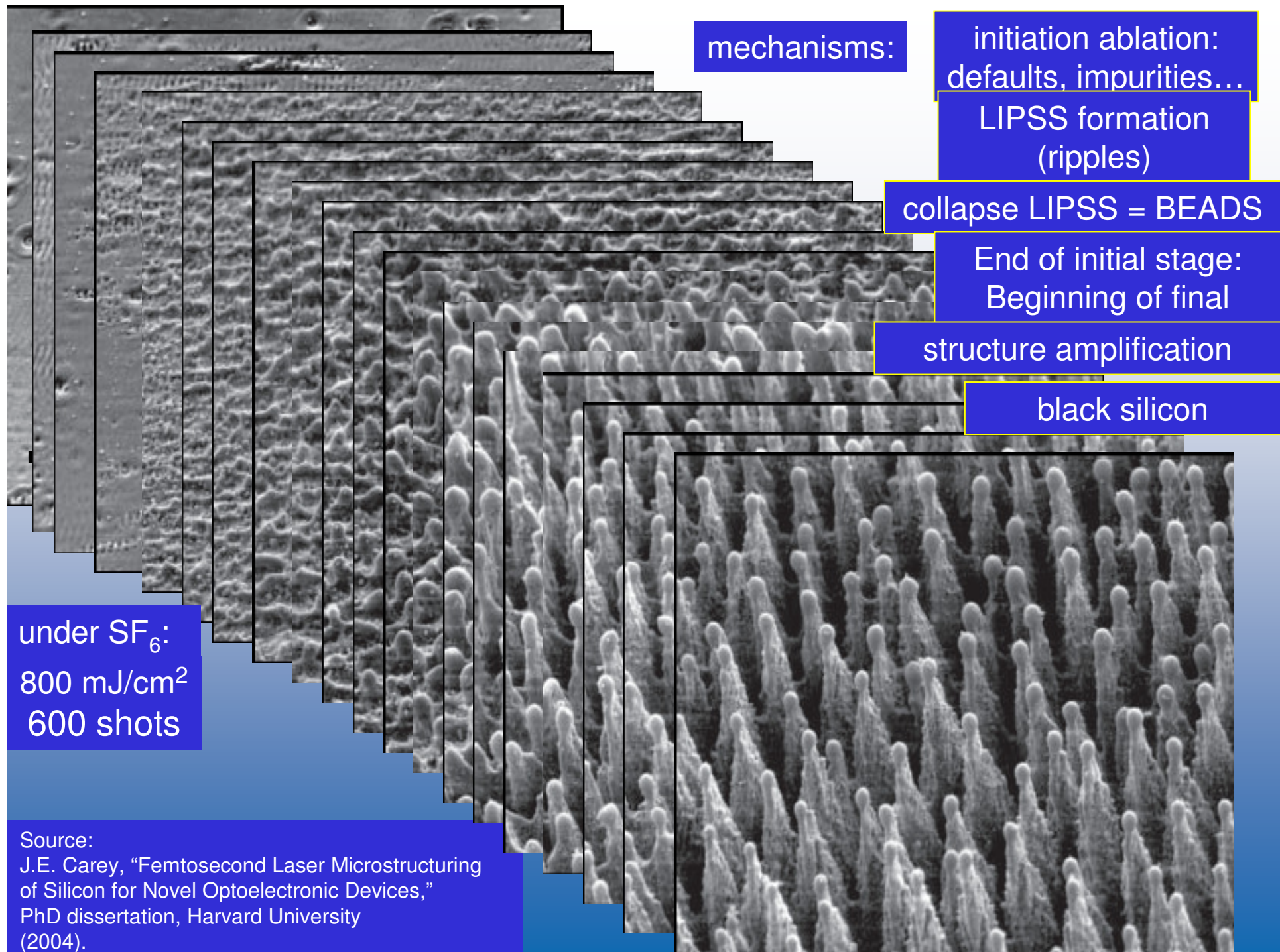


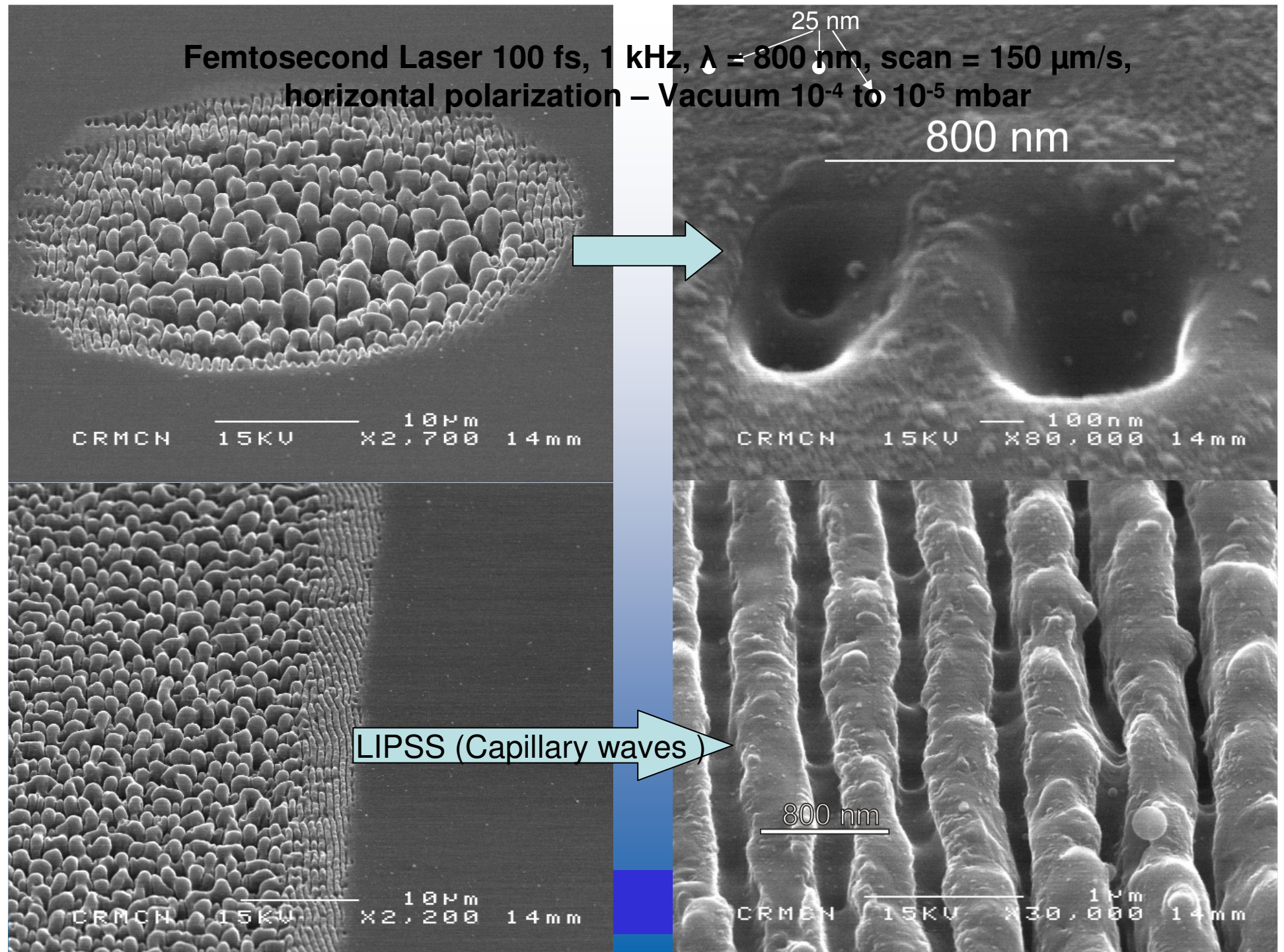
# Self surface nano/micro structuring

Mazur et al, Harvard University:

- laser femtosecond,
- monocrystallin Si
- SF<sub>6</sub>

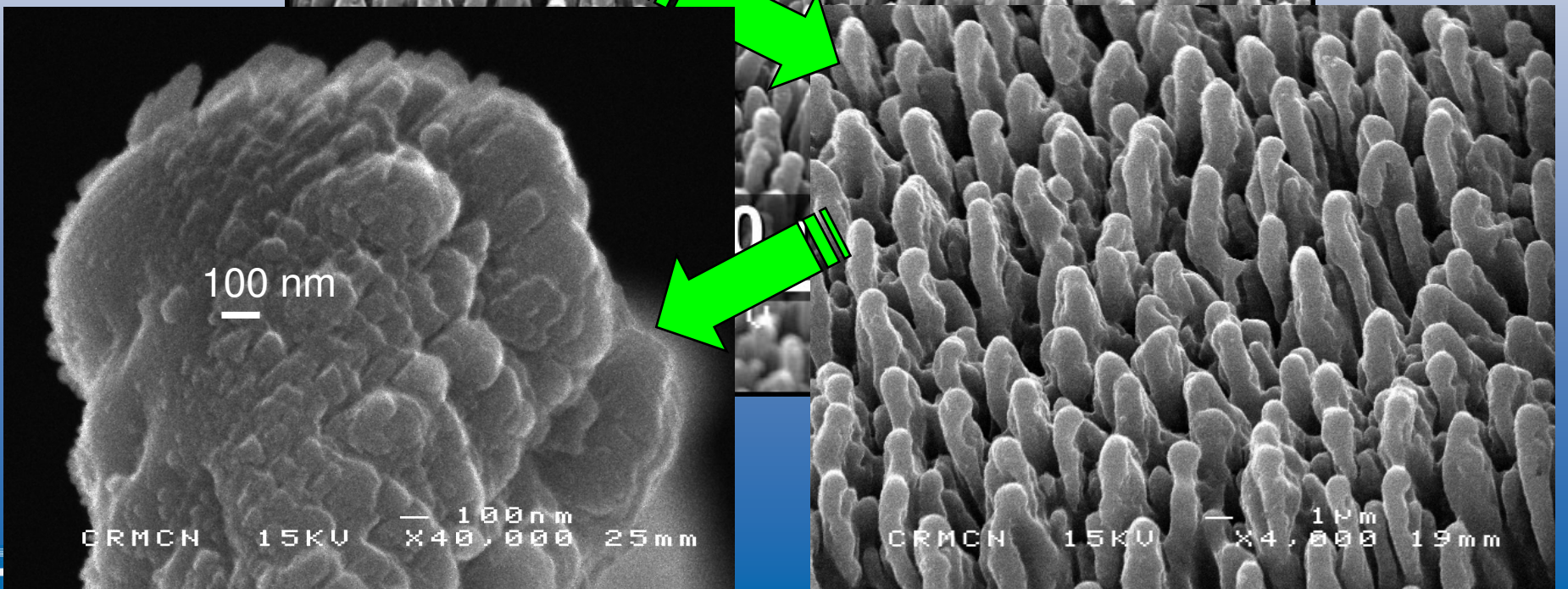


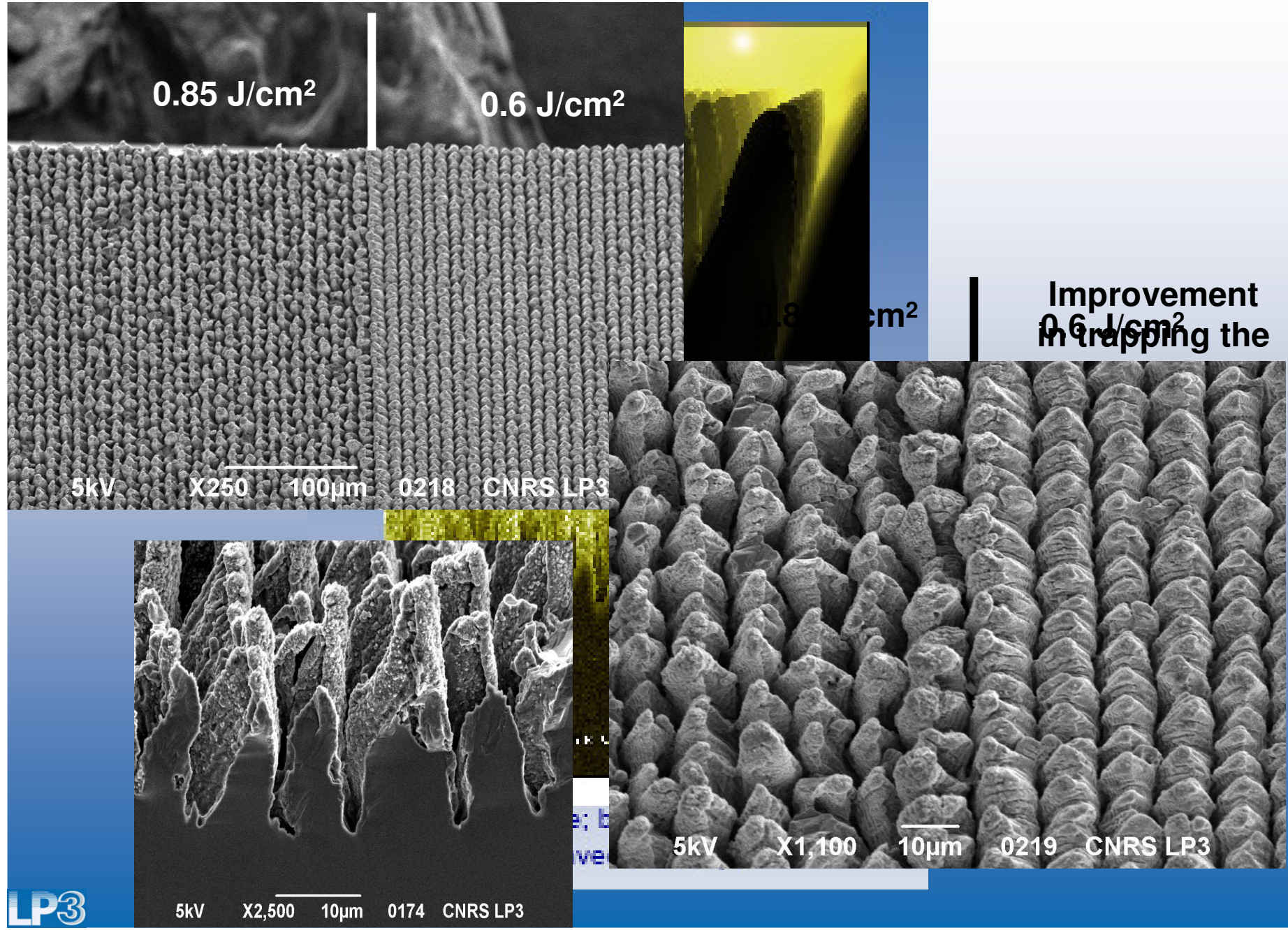


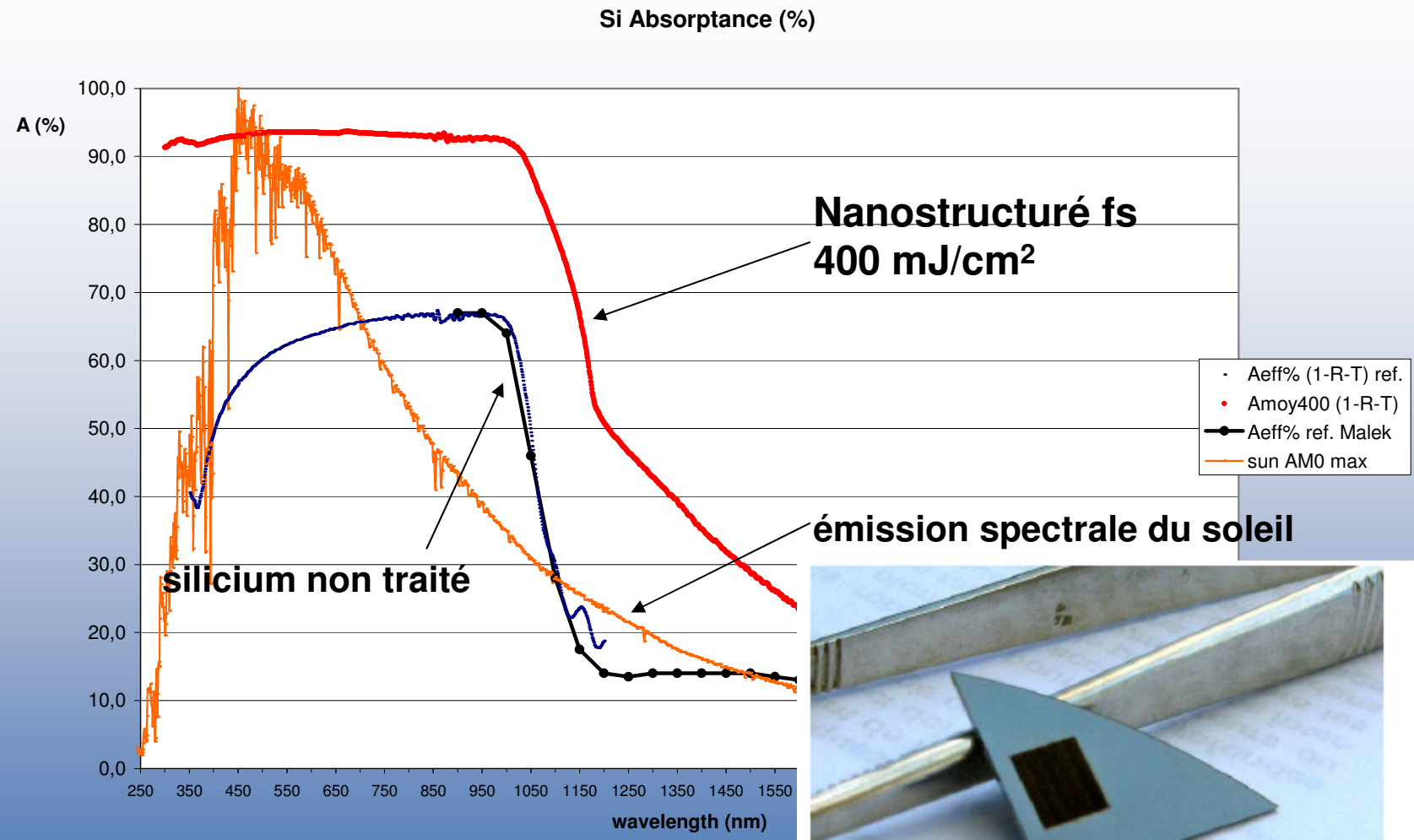




Le balayage de la surface avec des multiples tirs lasers permet la génération de micro/nano-structures avec une forme de **pingouins**







**Une augmentation de l'absorptivité et élargissement spectral de l'absorption !**



Merci!

